

荷重條件의 軟弱粘土의 壓密에 미치는 影響

Effects of Loading Conditions on Consolidation
Beharion of the Soft Clay

姜秉熙*

Byung Hee Kang

Abstract

One-dimensional Consolidation tests with pore pressure measurement were caried in the ANTE-US consolidometer in order to investigate the effects of loading conditions on consolidation behavior of the soft clay.

Undisturbed specimens of a sensitive clay were loaded in load-increment ratios 0.5, 1.0 and 2.0, and load increment duration of 1, 6, 12, 24 and 48 hours with the application of 40 psi of back pressure.

There is no significant effect of load-increment ratio on compression-pressure relationship, but the test with one-hour load increment duration doesn't represent the same results of the standard consolidation test in the sensitive clay.

I. 序論

沈下問題은 土質工學者가 實際로 겪는 가장重要的 한 問題中의 하나이다. 특히 軟弱地盤의 沈下는 여러가지 理由로 因해서 發生되지만은 이의 大部分이 體積變化에 依한 沈下로써 壓密現象에 依해서 일어난다.

Terzaghi의 一次元 壓密理論에 依해서 一般的으로 沈下問題를 解析하고 있으나 이理論은 많은 假定 때문에 實質的으로 일어나는 沈下現象, 특히 沈下速度는 잘 맞지 않는 境遇가 많다.

試驗室에서 壓密試驗을 할 때 試驗器內의 試料는 實際로 現場에서 일어날 現象을 正確하게 推定하기

위해서 現場條件과 같은 諸環境條件(溫度, 壓力) 및 荷重條件를 받도록 해야한다. 그러나 實際로 現場에서 어떤 構造物을 建設할 때 軟弱地盤이 받는 荷重條件를 試料에 그대로 옮겨서 加하기는 大端히 어렵다. 本稿에서는 試驗室에서 荷重條件 即 載荷比 및 載荷期間의 壓密現象에 미치는 影響을 研究検討하므로써 現場條件대로 試料에 荷重을 加하지 않고도 더 짧은時間 또는 便利한 時間內에 試驗을 完了할 수 있는지를 檢討코자 한다.

II. 壓密의 過程

1. 一次壓密(primary consolidation)

應力의 變化가 흙덩어리에 加해지면 흙덩어리에 體積變化가 일어난다.

이 體積變化는 다음의 세가지 理由때문에 일어나는 것으로 알려져 있다. (TAYLOR, 1948) :

- (1) 土粒子 自體의 壓縮
 - (2) 空隙內의 물과 空氣의 壓縮
 - (3) 空隙으로부터의 물과 空氣의 排出
- 普通 地下水位 以下의 地層은一般的으로 飽和되어 있으며 空隙은 물만으로써 차 있다. 그리고 土粒子 및 空隙水 自體는 比較的 非壓縮性이므로 荷重을 加했을 때 흙덩어리의 體積減少가 일어나는 것은 주로 空隙으로부터의 물의 排出 때문이다.

荷重을 加한直後, 空隙水가 排出되기 전에 增加되는 荷重은 土粒子가 조금도 받지 않고 一時의이나마 空隙內의 水壓으로써 받게된다. 이 水壓을 “過剩水壓”(Excess Pore Pressure)이라 한다. 만약 물이 흙덩어리에서 스며나오기 시작하면 排水는始作되고 同時に 過剩水壓은 줄어들기 시작한다. 이와 동

* 農業振興公社 特定事業部

시에 荷重增加에 의한 應力은 空隙水에서부터 土粒子로 서서히 옮겨진다. 이過程은 흙덩어리의 體積減少를 뒤따르게 한다. 荷重增加로 因한 흙덩어리로부터의 空隙水의 排水는 時間에 따라 달라지며 過剩水壓은 完全히 없어지고 전荷重을 土粒子가 받을 때까지 계속한다. 이와같이 排水, 壓縮 및 應力의 移動등의 段階의 過程을 土質工學에서는一般的으로 “壓密”(Consolidation)이라고 부르고 (TAYLOR, 1948) 이것을 특히 “一次壓密”이라고도부른다.

2. 二次壓密(Secondary Consolidation)

過剩水壓이 完全히 소실되어 없어진후에도 增加한 荷重下에서 흙덩어리의 體積變化는 如前히 계속된다.

A.S.T.M에서 二次壓密을 定義하기를 “지속되는荷重때문에 일어나는 흙덩어리 體積의 減少를 말하며 이는 荷重의 大部分이 空隙水에서 土粒子로 移轉된 後 흙덩어리의 内部構造(internal structure)의 조정에 의해서 일어난다”고 했다. SCHMERTMANN (1964)에 의하면 “二次壓密은 有効應力(effective stress)이 一定할때 즉 總應力이 一定하고 過剩水壓이 零인 상태에서만 發生한다”고 한다.

一次壓密과는 달리 지금까지도 二次壓密에 對한 헤카니즘(mechanism)이 만족하게 설명되지 않고 있으며 Terzaghi의 壓密理論에도 考慮되지 않았다. 그러나 二次壓密의 原因을 여러 學者들이 다음과 같이 주장하고 있다. 즉,

(1) 흙내부의 마찰력의 점차적인 재조정(CASAGRANDE AND FADUM, 1940)

(2) 흙입자 표면의 吸着水(absorbed water)의塑性變形(plastic deformation) (BUISMAN, 1936)

(3) 粘土結合(clay bond)의 약동(TAN, 1957)

表-1

시료의 기본성질

시험 번호	초기 성질				액성한계 We	소성지수 Ip	비중 Gs	비교
	공극비	합수비	포화도	전조밀도				
I-S-2	e. 2.35	w(%) 86.9	s(%) 100	$6+1b/(in^3)$ 50.1	81.1	48.1	2.69	
II-S-A2	2.45	89.5	99.8	49.5	90.5	56.0	2.73	
II-S-B2	2.41	89.5	100	49.5	89.6	56.8	2.705	
III-S-A2	2.37	86.0	99.3	50.5	85.0	51.9	2.73	
III-S-B2	2.45	89.5	99.3	49.3	83.7	49.8	2.73	
III-S-C2	2.31	83.9	99.5	51.5	81.0	48.2	2.73	
IV-S-2	2.35	87.0	100	50.5	83.0	50.6	2.714	

(4) 一次壓密時に 發達한 剪斷應力에 의한 粘性構造의 再配列(reorientation)(TAYLOR, 1942)

(5) 引力(attractive force)으로 因한 土粒子로부터의 물의 흡출에 影響을 받아 發生하는 土粒子의 계속적인 再配列(LAMBE, 1969)

그리고 WAHLS(1962)은 二次壓密의 量은 空隙比의 函数이고 荷重增加 또는 載荷比와는 關係가 없다고 했다.

III. 試料 및 實驗器具

1. 粘土試料

泰國의 수도 방콕에서 채취한 軟弱粘土를 使用하였다. 방콕점토는 오래전에 강의 삼각주에 퇴적되어 形成된 海性冲積粘土(alluvial marine clay)로써 地表面에서부터 풍화점토, 연약점토 및 堅固粘土(stiff clay)의 順으로 펼쳐있으며 보통 60ft 以下에서 砂質土가 發見된다.

일반적으로 방콕연약점토는 正常壓密粘土(normally consolidated clay)이고 높은 合水比를 가진 有機質粘土로써 壓縮性이 높다. 粘土礦物은 주로 크로라이트(Chlorite) 및 일라이트(Illite)로써 構成되어 있으며 몬트모릴로나이트(montmorillonite)가 一部포함되어 있다고 한다. (EIDE, 1968).

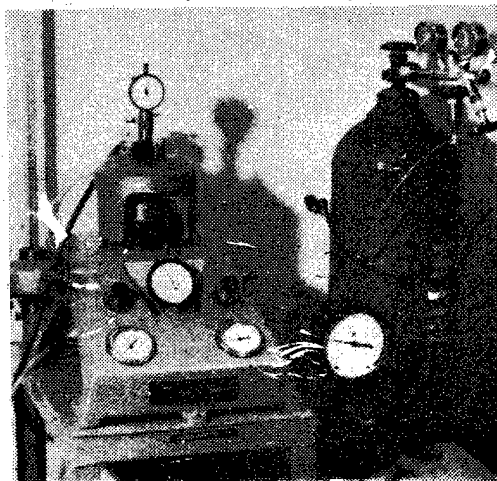
그러나 Netherlands Engineering Consultant(1965)의 보고에 의하면 일라이트가 60~70% 카오리나이트(Kaolinite) 10% 그리고 몬트모릴로나이트가 5~20%라고 한다. 그리고 一軸壓縮強度(Unconfined Compressive strength)는 5 ton/m² 以下이고(MUKTABHANT, et al, 1967) 銳敏比는 보통 4~8이다. 液性限界는 70~90%으로써 自然含水比에 近似하다. 粘土크기粒子(<2μ)는 약 60%이고 실트(#200체) 및

細砂의 含有量은 각각 29% 및 11% 이다. 可溶性 鹽分 含量은 1ℓ의 空隙水에 약 3.2g이 溶解되어 있으며 粘土粒子의 比重은 2.60~2.85이다. 그리고 細密히 觀察해보면 富粘土(fat clay)에서 가끔 볼수 있는 fissured plane이 發見된다. 이 fissured plane은 褐色의 Syneresis現象 때문인 것으로 報告되었고(EIDE, 1968). 그리고 각시험의 시료의 基本的 인 性質은 표-1에서 제시했다.

2. 壓密試驗器(Consolidometer)

使用한 壓密試驗器는 ANTEUS 壓密試驗器 A-1型으로써 흔히 이를 加壓壓密試驗器(Back Pressure Consolidometer)라고도 불리워진다(사진 참조). 이는 一次元壓密試驗器에 back pressure를 加할 수 있도록 開發된 것으로써一面排水토록 되어 있으며 시험 중 空隙水壓을 測定할 수 있다.

壓密環(Consolidation ring)은 直徑 $2\frac{1}{4}$ inch 크기의 스테인레스 스틸(stainless steel)로써 내부벽에는 마찰을 減少시키기 위해서 텐플론(TEFLON)을 붙였다.



ANTEUS 壓密試驗器 A-1型

3. Back Pressure

현장에서 상당히 큰 水壓下에서 完全히 飽和되어 있는 흙이 시료 채취되는 過程에서 空隙水內에 氣泡가 생기게 된다.

이는 높은 水壓下에서 溶解되어 있던 氣泡가 水壓이 제거되므로써 다시 생겼기 때문이다.(Boyle's 법칙 및 Henry의 溶解에 關한 법칙에 의해서). 방곡 연약점토의 初期飽和度(initial degree of saturation)가 상당히 높으므로 약 20 psi의 back pressure를 加하드라도 시료를 充分히 饽和시킬 수 있다고 한

다(KANG, 1970). 본시험에서는 40 psi의 back pressure를 加한 후 36시간 만에 荷重을 加하기始作了.

IV. 試驗結果 및 討論

1. 壓縮-壓力關係

1) 壓縮-壓力 曲線의 模樣

그림 1 및 2에서 提示한 壓縮-壓力 曲線은 不攪亂 방곡弱粘土의 代表의曲線 모양으로써 이는 또한 銳敏比가 높은 不攪亂粘土의 壓縮-應力 曲線이기도 하다. 本試驗에서 얻어진 모든 壓縮-應力 曲線은 荷重狀態에 關係 없이(단 1時間 載荷期間 시험을 除外하고는) S-型 曲線으로써 處女曲線(virgin curve)上에 逆彎曲(contraflexure)點이 생긴다.

TERZAGHI and PECK (1948)은 銳敏比가 4以上 되는 粘土에서는 이와 같은 曲線을 그린다고 報告했다. 試料의 銳敏比는 試驗結果 4.5~6.0으로 判明되었다.

시험에서 얻은 壓縮-壓力 曲線은 粘土의 銳敏比로써 說明될 수 있으며 이 銳敏比는 흙의 地質學上의 來歷에 依해서 說明 된다. 方곡粘土의 높은 銳敏比는 海性堆積粘土(marine deposited clay)로 부터 鹽分을 오랜 歲月에 걸쳐 씻어내었기 때문이다. 海岸에서 가까운 곳의 海性粘土의 空隙水는一般的으로 1ℓ에 20~30gr의 鹽을 溶解하고 있으며 이는 海岸에서 멀어질수록漸漸 줄어든다.

試料의 可溶性 鹽分含量은 1ℓ의 空隙水에 3.5gr의 鹽分을 溶解하고 있었다.

이는 試料가相當히 많이 씻어졌다(leached)는 것을 뜻한다.

그리고 粘土의 空隙水內의 鹽分含量을 減少시키므로써 液性限界는 줄어들고 含水比는 實際로 變하지 않는다. 그래서 鹽分을 씻어낸 흙의 液性限界는 自然含水比에 가까울 듯지 또는 오히려 낮게된다. 이에對한 現象은 BJERRUM and ROSENQVIST(1956)에 依해서 試驗으로써 證明 되었다.

本試驗에서 使用한 試料의 自然含水比는 液性限界보다 높든지 또는 거의 비슷하다. 이것 또한 方곡粘土가 除鹽 되었다는 事實을 나타내고 있다.

만약 海性粘土가 淡水에 의해서 可溶性鹽을 씻어낸다면 Gouy-Chapman理論에 의하여 陽이온濃度(Cation Concentration)가 減少되고 따라서 electrokinetic potential이增加 한다. 粒子間의 electrokinetic potential이增加하면 흙의 構造는 더욱더 안

定性이 들어들고 쉽게構造의破壊가 일어난다.

SKEMPTON and NORTHEY (1952)는試驗에서除鹽이 흙의構造를 meta-stable構造로發達시킨다는것을보였다. 이meta-stable構造는應力의變化 또는攪亂에 의한土粒子의方向(Orientation)의再配列에對해서大端히 敏感하다. 이러한構造에재배열이 흙으로하여금 높은敏銳比를 가지게하고不攪亂試料의剪斷強度를減少시킨다. 따라서그림-1에서와 같은型의壓縮-壓力曲線을그리게된다.

2) 載荷比(Load-Increment Ratio)의影響

그림 1은一定한載荷期間(load increment duration 1時間), 40psi의 back pressure를加한3개의 다른載荷比(0.5, 1.0, 2.0)에對한壓縮-壓力曲線이다. 3개의曲線은根本적으로同一한曲線이다.

그림에서보인어떤壓力下에서의壓縮量의差異는先行荷重(preconsolidation pressure)以下의載荷段階에서發生한初期壓縮(initial Compression)의差異때문인것으로생각된다.

TEVES and MOH (1968)는방록軟弱粘土에대한 $e-\log p$ 關係는載荷比와는實質적으로아무런影響을받지않는다고그들의試驗曲線으로부터分析했다. 그림 1에서볼수있는바와같이載荷比는壓縮-壓力曲線에重要한影響을미치지않는다고結論지울수있다.

3) 載荷期間(Load increment duration)의影響

그림-2는一定한載荷比(1.0), 40psi의back pressure를加하고다섯가지의다른載荷期間(1, 6, 12, 24, 48시간)에對하여試驗하였을때의壓縮-壓力曲線을보여준다. 그림에서흙의壓縮性(compressibility)은載荷期間時6시간以上에對해서는載荷期間에關係없음을보여준다. 1시간載荷期間의試驗의壓縮量은다른장시간載荷期間의壓縮量보다훨씬적다.先行荷重(약 1.0ton/ft²)以上의荷重에서는初期空隙比가크면클수록1시간載荷期間試驗을除外하고는載荷期間에關係없이壓縮性은높다.

MUKTABHANT et al(1967)에의해서도방록軟弱粘土에對해서이와같은初期空隙比와壓縮의關係를얻었다.

표-2에서비록載荷期間이끝날때의總壓縮量은같을지라도載荷期間은荷重增加直後의壓縮度(rate of compression)에影響을미친다는事實을發見할수있다. 이影響은아마도二次壓密量의變化와關係이있는것이틀림없다.

二次壓密是一般的으로荷重이作用되었을때흙試料內의內部構造(internal structure)의漸次적인再調整에의한것이라고생각되며이再調整된粘土粒

子는서로어떤結合으로써連結된다고생각된다.

載荷期間이짧은壓密시험의試料內에서는이러한結合이직게發達하므로空隙이크고透水係數가크면土粒子構造變化에對한抵抗力이적게된다. 이러한理由로因해서載荷期間이짧은壓密試驗에서는平均壓縮度(mean rate of compression)가높게된다. 표-2에서載荷期間이짧으면짧을수록荷重增加後첫1시간에對한平均壓縮度는높다.

그러나짧은載荷期間試驗의높은平均壓縮度는작은二次壓密量으로因해서結果의으로그림-2에서圖示된바와같이1시간載荷試驗에對한것을除外하고는모두가거의비슷한總壓縮量이일어난다.

表-2 하중증가후 첫 1시간동안의 압축

구분	압축 (10^{-6} 인치)				
	1시간	6시간	12시간	24시간	48시간
ton/ft ² 0—0.25	122.0	89.0	84.0	117.5	84.5
0.25—0.50	87.2	54.8	74.5	88.0	63.5
0.50—1.0	173.6	146.0	165.0	166.5	128.1
1.0—2.0	496.2	465.0	378.5	365.0	320.5
2.0—4.0	600.5	378.0	303.5	274.0	247.8
4.0—8.0	625.5	301.0	255.5	237.5	217.5

그림 2에서1시간載荷시험의壓縮은다른長時間의載荷試驗의壓縮보다모든載荷段階에서작다. 이는1시간의짧은時間은試料內의過剩水壓이다음의荷重增加前에完全히消失되기에너무나짧기때문이며6시간은過剩水壓을完全히消失시키기에는充分히길기때문이다. 1시간載荷試驗에있어서는첫째載荷段階以後의모든載荷段階에서는前段階에서消失되지않고남은過剩水壓이累積되어有効壓力이完全히發達할수가없다. 그래서높은累積된過剩水壓으로因해消失速度가빨라지고또첫1시간壓縮은크게일어난다. NORTHEY(1956)는1시간의載荷期間을使用하여急速壓密시험을行한結果를利用하드라도標準壓密試驗의結果와工學的目的을爲해서는別로差異가없다고報告한바있으나방록점토와같이壓縮성이크고過剩水壓의消失時間이긴粘土에對해서는전혀通用되지않는다.

結論으로6시간以上의載荷期間에對해서는載荷期間은壓縮-壓力關係에影響을미치지않으며그림 2에서보인若干의差異는試料의初期空隙比의差異에基因한것이라고볼수있다.

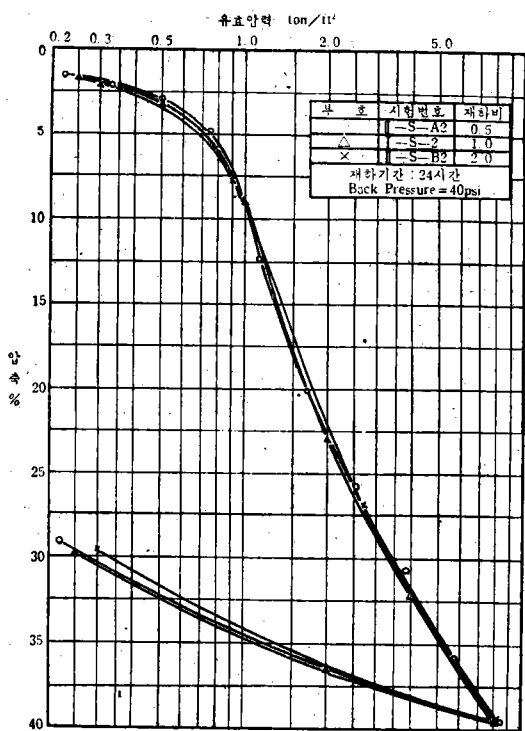


그림 1. 壓縮-壓力 關係에 대한 載荷比의 影響

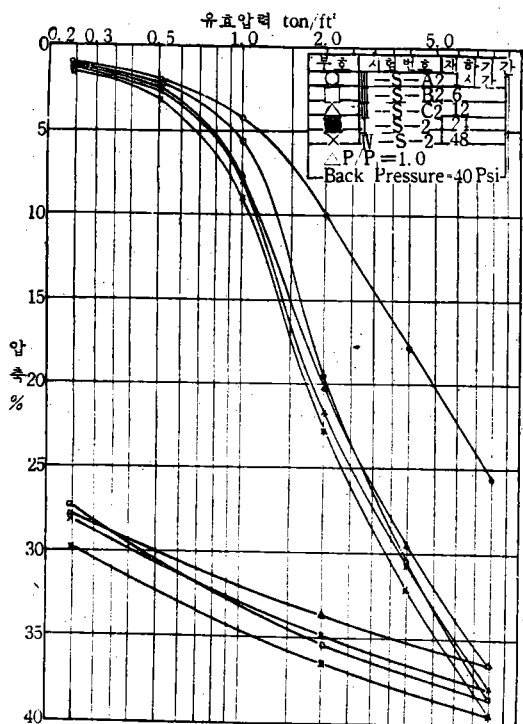


그림 2. 壓縮-壓力 關係에 대한 載荷期間의 影響

4) 先行荷重(Preconsolidation Pressure) : P_c

先行荷重은 흙이過去 언젠가 經驗한 最大壓密壓力을 말한다. 이先行荷重은一般的으로 壓縮-壓力曲線으로부터 CASAGRANDE方法에 의해서推定한다.先行荷重이包含되는載荷段階에서 土粒子構造의破壊가비로소 일어나기始作하므로試驗에依해서求한先行荷重은土粒子構造에依해서重要하게影響을받는다.推定된先行荷重은試驗節次에依해서도 어느程度 달라질수 있으나 二次壓密이크면先行荷重이적게推定되는것만은確實하다. 그래서 ALTSCHAEFFL(1964)은 二次壓密의 $e-\log p$ 曲線上에서先行荷重의實際值을不明確하게나타내게하기때문에 二次壓密이큰흙試料에서는先行荷重은一次壓密만으로써그런曲線으로부터求해야한다고提言했다.

본 시험에서 CASAGRANDE方法에依해서求한先行荷重值은 $0.85\sim 1.10 \text{ ton}/\text{ft}^2$ 이었으며 그平均值는 $0.97 \text{ ton}/\text{ft}^2$ 이었다. 이를값은 二次壓密의影響을減少시키기위해서一次壓密만으로써求했다.地表面으로부터 18 ft 깊이에서試料採取했으며現象의實質적인有効上載荷重壓力(effective overburden pressure: P_o)은 $0.73 \text{ ton}/\text{ft}^2$ 으로計算되므로過壓密比(Overconsolidation ratio) : P_c/P_o 의平均值는 1.34로써自然狀態에서는若干過壓密(Overconsolidated)되었다.

2. 時間-壓縮 關係

1) 時間-壓縮曲線의 模樣

Marsal et al (1950)은 Mexico city clay로써施行한 그들의壓密試驗에서壓縮-時間의對數(logt)曲線을 그림 3과같이 세가지型으로便利하게區分하였다.

Type I의曲線은 Terzaghi理論을適用시킬수있는曲線이나 Type II 및 III曲線은 Terzaghi理論에의해서概略值나마空隙水壓의消失速度를推定할수가없다.

LEONARDS and GIRAUT(1961)는 Type I曲線의境遇에는비록二次壓密이크드라도Casagrande方法으로써100%의一次壓密에該當하는點을比較的正確하게推定할수있음을發見했으며이들은또Type II 및 III曲線은主로載荷比가아주작을때나또는有効先行荷重이包含되는載荷段階에서얻어진다고報告했다.

本試驗에서도Type III曲線의先行荷重이包含되는모든載荷段階에서그려졌으며또載荷期間의試料내에발달한過剩水壓이充分히消滅되기에너두

짧을 때도 Type III 曲線이 그려졌다. 그리고 다른 모든 試驗에서는 Type I 曲線이 求해졌으며 Type II 曲線은 그려지지 않았다.

沈下一 \sqrt{t} (t : 時間)의 理論曲線은 약 60% 壓密度(degree of Consolidation)까지는 直線이다. 본 연구에서도 先行荷重以上의 모든 載荷段階에서는 이 直線部分이 모든 시험에서 明確하게 나타났다. 그러나 先行荷重이 결쳐 있는 載荷段階에서는 그림—IV에서와 같이 直線部分이 나타나지 않았다. 그래서 이와 같은 曲線에서는 Taylor의 “ \sqrt{t} 法”에 依해서 90% 壓密點을 求할수가 없었다. HHAMILTON and CRAWFORD (1957)도 카나다의 Leda clay로써 行한 試驗에서 先行荷重이 결쳐 있는 載荷段階에서는 Type II의 曲線을 얻었다. 筆者は 방록軟弱粘土로 써 行한 試驗에서 求한 Type III 曲線 中에서 짧은

直線部分을 發見했으며 비록 상당한 誤差는 있을지 인정 이들 曲線으로 부터 90%의 壓密이 일어나는 시간을 구할수가 있었다.

先行荷重이 결쳐 있는 載荷段階에서 Type III의 曲線 및 이러한 變則의인 壓縮— \sqrt{t} 曲線이 생기는理由는 다음과 같이 說明된다. 즉 不攪亂 흙의 構造는 이 載荷段階에서 破壞되기始作하므로 先行荷重에 가까운 荷重에 對한 壓縮度(rate of compression)는 흙의 透重係數보다 오히려 흙의 構造破壞에 依해서 左右된다.

過剩水壓이 完全히 消失된 後에도 흙의 構造破壞로 因한 壓縮度는 Type II의 曲線을 그릴만큼充分히 크게 일어나기 때문이다.

2) 載荷比 및 載荷期間의 影響

載荷比가 작으면 二次壓密의 影響이 大端히 重要

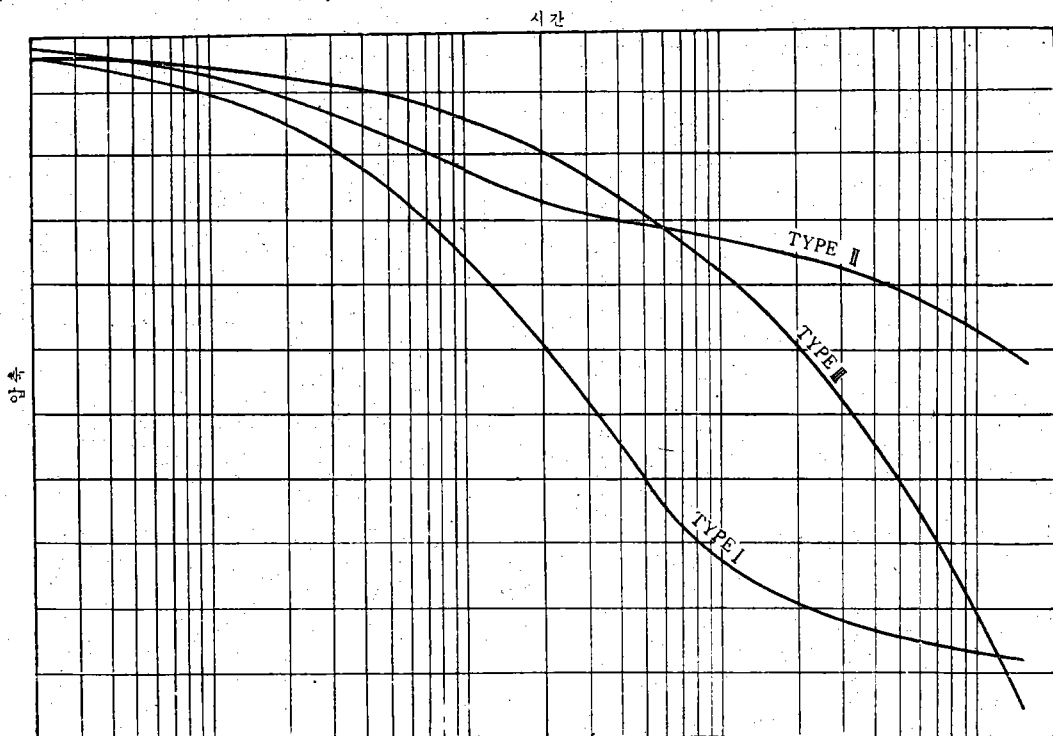


그림 3. 時間—壓縮 曲線型

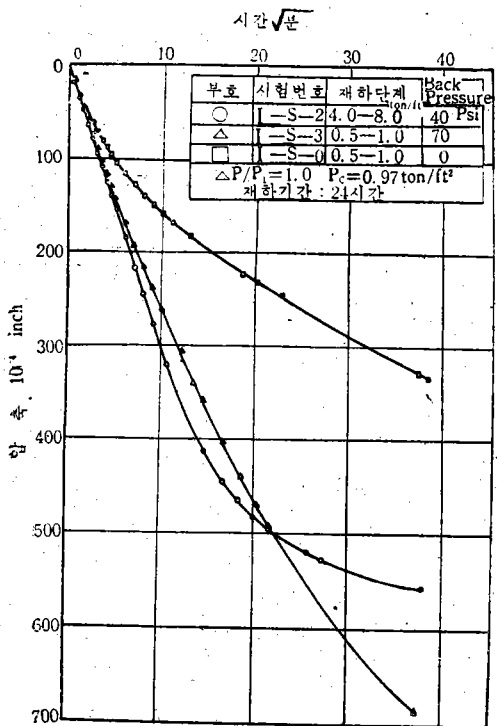


그림 4. 壓縮— \sqrt{t} 에 대한 대표적인 曲線

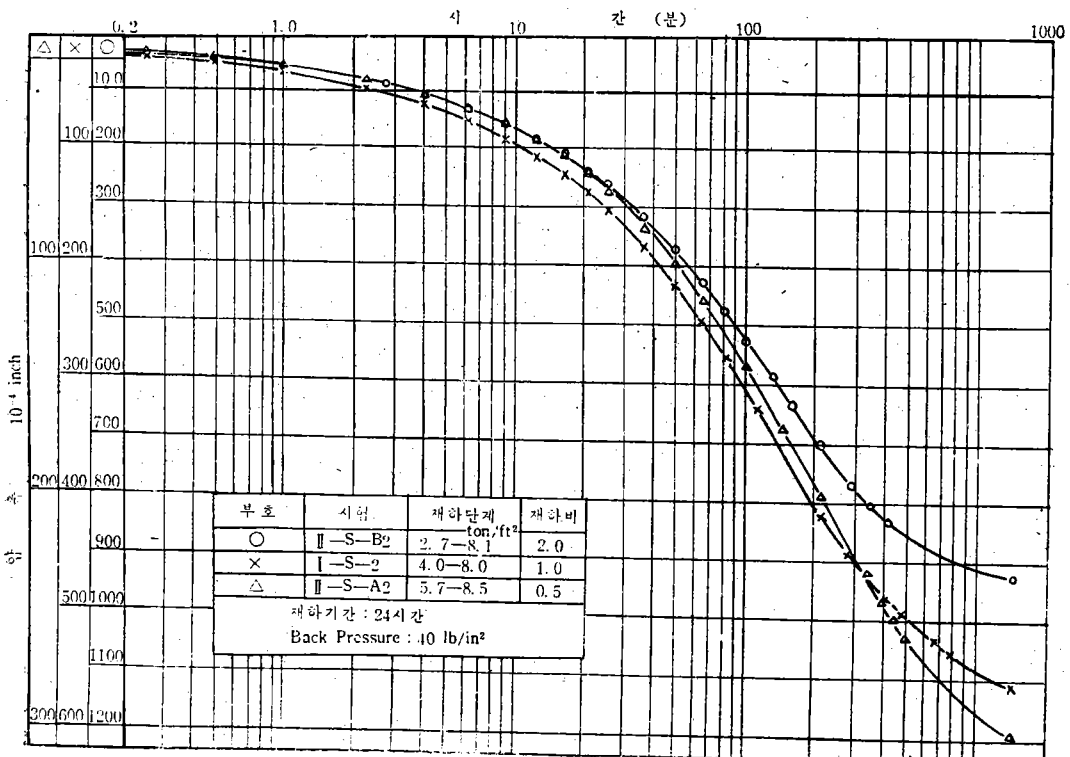


그림 5. 時間—壓縮 關係에 대한 載荷比의 影響

하게 되어 Type I의 曲線으로 된다고 한다(Wahls 1962) Wahls은 載荷比가 0.33 및 0.2일 때 Type I 曲線을 얻었으며 MARSLA et al (1950)은 0.22 때 Type II 傾向을 얻었으며 TEVES and MOH (1968)는 방죽 軟弱粘土로써 0.25에서 이러한 曲線을 얻었다. 그러나 지금까지도 一次 및 二次壓縮에 關한 어떠한 理論으로써도 이의 影響에 對해 說明할수가 없다. 本研究에서는 이미 說明한바있는 先行荷重이 包含하는 載荷段階을 除外하고는 載荷比 0.5에서도 Type II 曲線이 그려지지 않았다. 여러가지의 載荷比에 對한 時間—壓縮 曲線을 圖示한 그림—5에서 載荷比가 減少하면 비록 모든 曲線은 Type I 曲線이 기는하나 Type I에서 Type II의 曲線으로 變化하는 傾向을 보여주고있다. 이를 미루어보아 載荷比 0.5 值는 方塊軟弱粘土에 對해서는 Type II 曲線을 그리기에는 너무 큰것 같다.

前述한바와같이 載荷期間이 過剩水壓을 完全히 消失시키기에는 充分히 길지못할때에는 Type II 曲線이 그려진다. 本研究에서는 1時間의 載荷期間試驗의 모든 載荷段階과 그리고 6時間 載荷試驗의 最終 3段階에서 Type II의 曲線을 얻었다. 이境遇에서는 새

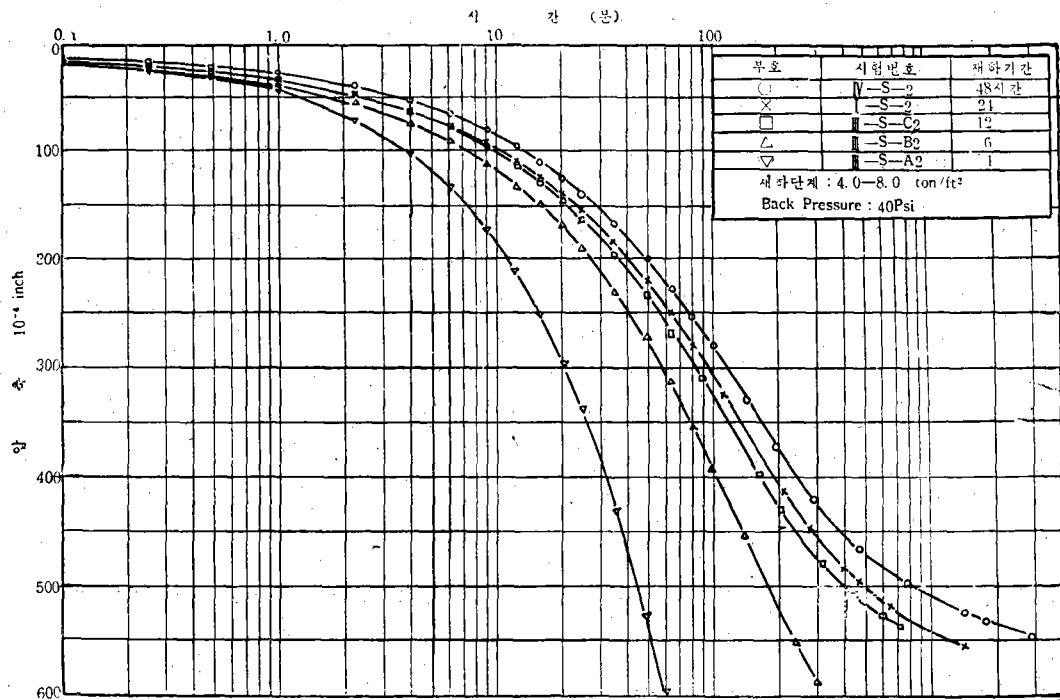


그림 6. 時間—壓縮 關係에 대한 載荷期間의 影響

로운 荷重을 增加할 때 以前의 載荷로 因한 過剩水壓의 一部가 남아 있기 때문이다. 그림 6은 여려 가지의 載荷期間 (1, 6, 12, 24 및 48 時間)에 對한 試驗의 最終 載荷段階 ($4.0 \sim 8.0 \text{ ton}/\text{ft}^2$)의 壓縮— $\log t$ 曲線을 보여 주고 있다. 載荷期間이 길어짐에 따라 曲線은 Type II에서 Type I으로 徐徐히 變하고 있음을 보여주고 있다. 그리고 12時間以上의 載荷期間 試驗의 모든 載荷段階에서 Type I 曲線을 얻었다.

結論의 으로 載荷比 0.25以下 또는 載荷期間이 6時間以下에서 Type II曲線이 그려졌다.

3) 初期壓縮(Initial compression)

壓縮— \sqrt{t} 曲線上에서 壓縮이 始作하는 點 d_0 로 부터 修正한 始點 d_s 까지의 壓縮을 “初期壓縮”이라고 한다. 一般的으로 d_0 는 d_s 보담 위에 있으나 아래에 있을 수도 있다. 이럴 때는 “負初期壓縮”(negative Initial Compression)이 일어난다.

正初期壓縮(positive Initial Compression)의 原因은 주로 空隙內의 氣泡의 壓縮, 壓密室(Consolidation Cell)内部壁의 摩擦, 그리고 多孔板(porous stone)과 試料 사이의 不完全한 密着等으로 생각할 수 있다. 그리고 負初期壓縮은 주로 試料내의 어떤

種類의 構造結合(structural bond)때문인 것으로 생각되고 있다.

表-3 初期壓縮 (10^{-4} inch)

載荷段階	back pressure (psi)		비고
	0	40	
(ton/ ft^2) 0—0.25	24.0(24.2)	13.5(10.5)	
0.25—0.50	10.7(16.0)	4.0(3.6)	
0.50—1.0	—	0.5(0.1)	
1.0—2.0	-15.5(-1.4)	-35.0(-3.3)	
2.0—4.0	-3.0(-0.4)	-16.0(-2.3)	
4.0—8.0	13.0(2.3)	0(0)	

주 : i) 팔호내의 숫자는 各段階의 總壓縮量에 對한 百分率(%)

ii) “—”는 負初期壓縮을 표시함

표-3은 標準壓密試驗(載荷比 1.0 및 載荷期間 24時間)에 對한 初期壓縮量를 보여 준다. 모든 載荷段階에서 Back pressure를 加하지 않은 試驗의 初期壓縮量은 40 psi의 Back pressure를 加한 試驗의 初期

壓縮量보다恒常크다. 이는試料내의氣泡量 즉飽和度의影響을 받는다는것을뜻한다.先行荷重以下의載荷段階인 첫째 및 두번째段階에對한初期壓縮量을比較해보면 첫段階(0—0.25 ton/ft²)가 두번째段階(0.25—0.5 ton/ft²)보다恒常正初期壓縮量은크다. 이는 이미 言及한바와같이 試料내의氣泡, 負初期壓縮 및 多孔板과 試料間의 不完全한密着等의理由때문이다. 이중 마지막理由인 不完全한密着은 단지 첫載荷段階에서만重要하다.

荷重壓力이增加되면 氣泡量도 줄어들고 동시에負初期壓縮도增加되어 正初期壓縮과 서로相殺된다

그리고 負初期壓縮은 모든 試驗에서先行荷重以上의載荷段階에서만 일어났으며 이는 높은載荷壓力에依한 土粒子構造의破壞로써 說明될수있다. 이에對해서 LEONARDS and ALTSCHAEFFL (1964)은 다음과 같이 說明했다. 荷重을 加한後 일마간의時間이 지나면 수많은土粒子 또는 조그마한土粒子송이(cluster of particle)는 다른一部土粒子들이荷重下에서 움직이고 있는동안에도 어떤平衡狀態를이루게된다.時間이 經過함에 따라 더 많은土粒子들이이러한平衡狀態를이루게된다. 이러한平衡狀態가이루어지고土粒子의 움직임이 끝나면土粒子間

의結合의役割을하는粘土粒子간의接觸點에서의물分子의方向性(orientation)은完全히發達할수있고이에따라서粒子間의結合強度(bond strength)가增加한다. 이發達된結合強度는載荷壓力의作用直後는 얼마간의작은有効壓力에는抵抗할수가있으나時間이經過함에 따라過剩水壓의消失로因해서增加된有効載荷壓力에抵抗하지못하게된다. 그래서壓縮— \sqrt{t} 曲線上에서負初期壓縮이일어나게된다.

표-3에의하면有効壓力이2.0 ton/ft²까지는初期壓縮이負의方向으로줄어들고 그以後부터는有効壓力의增加에따라增加한다. 初期壓縮이다시增加되는理由는 아직도確實히는밝혀지지 않았으나筆者의意見으로는載荷壓力의增加에 따라壓密室(consolidation cell)內部壁과試料사이의側面摩擦(side friction)이增加해서正初期壓縮을增加시켜서土粒子構造破壞로인해서생긴負初期壓縮을相殺減少시키기 때문일것으로생각된다.

4) 二次壓密(Secondary Consolidation)

二次壓密은過剩水壓이完全히消失되고난後에일어난壓縮을말하며이는보통“log t法”에의해서推定한 t_{100} (100%壓密이일어난時間)以降의壓

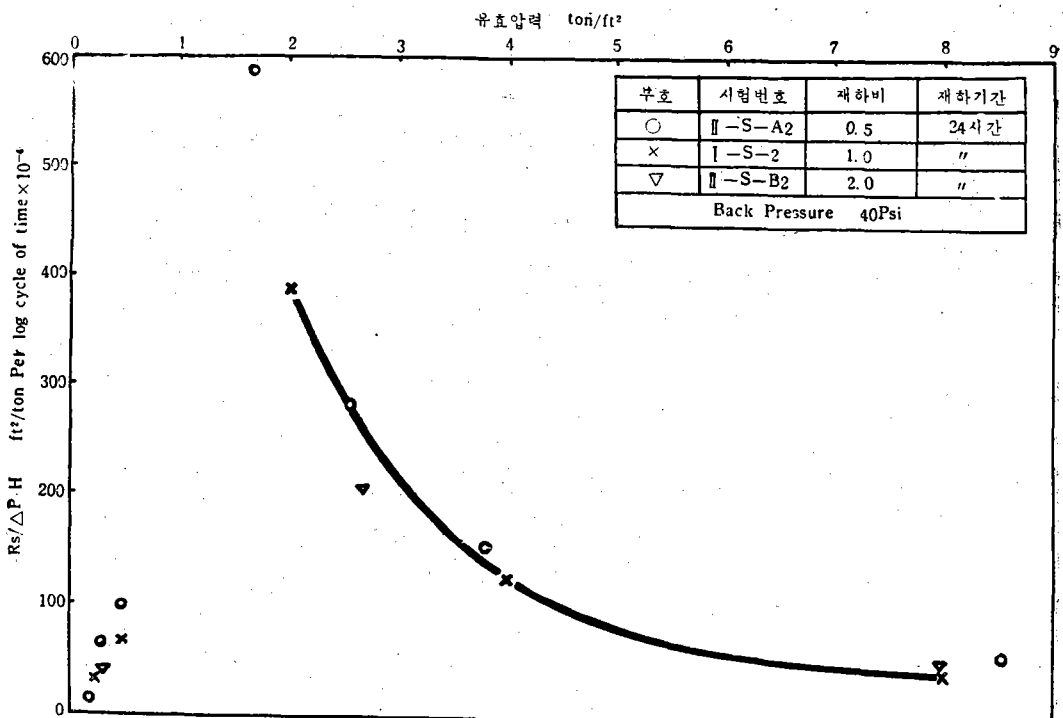


그림 7. 二次壓密에對한載荷比의影響

縮으로써 求한다. $\log t$ 또는 비록 經驗에 依한 方法이긴하나 LEONARDS and GIRAUT (1961)에 의하면 空隙水壓을 同時に 測定한 試驗에서 求한 過剩水壓이 完全히 消失된 時間과 Type I 曲線上에서 求한 t_{100} 과는 거의 一致한다고 한다. 本研究에서도 空隙水壓을 測定했으나 gauge가 充分히 敏感하지 못하여 空隙水壓消失에 對한 滿足할만한 曲線을 얻지 못했으므로 使用하기 便利한 $\log t$ 法에 依해서 一次 및 二次壓密을 分別하였다. 그림-7에서 $R_s/\Delta P.H$ (R_s : 1 log cycle)에 對한 二次壓密, ΔP : 荷重增分, H : 試料 높이)에 對한 載荷壓力曲線으로써 完全한 曲線을 그리지 못하였다. 왜냐하면 先行荷重이 包含되어 있는 載荷段階에서는 100%의 一次壓密點을 求할 수 없기 때문이다. 그림에서 $R_s/\Delta P.H$ 值은 載荷比가 增加함에 따라漸漸減少되는 傾向을 보여 준다. 이는 LEONARDS and GIRAUT (1961)에 의해서도 제시된 바도 있다. 間接에서는 圖示되지는 않았으나 24時間의 載荷期間의 試驗에 對한 $R_s/\Delta P.H$ 值은 48시간에 對한 것보다恒常 높다는 事實이 試驗에서 判明되었다.

5) 壓密係數 (Coefficient of Consolidation): C_v .

壓密係數는 荷重下에서의 壓縮速度를 나타내는 것으로써 이는 주로 흙의 透水係數와 흙構造의 塑性抵抗 (plastic resistance)에 依해서決定된다고 한다 (CRAWFORD, 1964). Terzaghi 理論에 依하면 C_v 值는 흙의 透水係數에 比例하고 흙構造의 壓密性에 反比例하나 LEONARDS(1969)에 依하면 흙의 透水係數가 더 重要한 役割을 한다고 한다.

그림 8에서 壓密係數는 有効壓力이 增加함에 따라減少한다는 것을 볼 수 있다. 이의 重要한 理由로는 有効壓力이 增加함에 따라 透水係數가減少하기 때문이다. 先行荷重以下의 壓力에서는 載荷壓力의 增加에 따라 透水係數는減少하고 흙構造의 壓縮係數(Coeff. of Compressibility)는 增加한다. 그러나 先行荷重

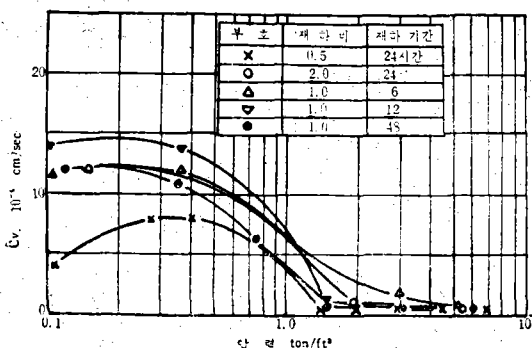


그림 8. 諸荷重 條件에 대한 壓密係數

以上의 壓力에서는 壓力의 增加에 따라 透水係數 및 壓縮係數는 다같이 減少한다. 그래서 C_v 值은 先行荷重以下에서는 壓力의 增加에 따라 減少하나 先行荷重以上에서는 거의 비슷하다. 그림에서 載荷比 2.0에 對한 C_v 值은 載荷比 0.5에 對한 것보다 全壓力에서 恒常 높으며 載荷期間 6, 12 및 48시간에 對한 C_v 值은 모든 壓力에서 서로 비슷하다. 그러나 LEONARDS and RMAIAH (1959)는 그들의 試驗結果로부터 試驗室 試驗에서 求한 C_v 值은相當히 변덕스러우며 이는 現場에서 實際로 일어나는 C_v 值와는相當한 差異가 있다고 結論 지었다.

IV. 結論

1. 載荷比는 壓縮-壓力關係에 對해서 重要한 影響을 미치지 않는다.
2. 壓縮-壓力關係에 對한 載荷期間의 影響은 6時間 以上的 長期間에 對해서만 無視할 수 있으므로 1時間 載荷期間의 急速試驗結果를 標準試驗의 結果로써 使用할 수 없다.
3. 先行載荷이 包含되는 載荷段階에서는 Type II의 時間-壓縮 曲線이 그려지며 載荷比 0.25 및 載荷期間 6時間 以下의 試驗에서도 Type III 曲線이 그려진다.
4. $R_s/\Delta P.H$ 值은 載荷比에 反比例하고 載荷期間의 增加에 따라 減少한다.
5. C_v 值은 載荷比가 즐수록 增加하고 載荷期間에는 별 影響을 받지 않는다.

REFERENCES

- BJERRUM, L., and HURDER, J. (1957), Measurement of the Permeability of Compacted Clays, Proc., 4th ICSMFE, London, v. I, pp. 6-8.
- CRAWFORD, C. B. (1965), The Resistance of Soil Structure to Consolidation, Canadian Geotechnical Journal, v. 2, pp. 90-97.
- CRAWFORD, C.B. (1964), Interpretation of the Consolidation Test, J. SMFD, ASCE, v. 90, no. SM5, pp. 87-102.
- EIDE, O. (1968), Geotechnical Problems with Soft Bangkok Clay on the Nakon Sawan Highway Project, Norwegian Geotechnical Institute, Pub. No. 78, pp. 1-9.
- GIBSON, R.E., ENGLAND, G.L. and HUSSEY, M. J. L. (1967), The Theory of One-Dimensional Consolidation of Saturated Clays, Geotechnique,

- v. 17, pp. 261-273.
- HAMILTON, J.J. and CRAWFORD, C.B.(1959), Improved Determination of a Sensitive Clay, *ASTM*, S.T.P., no. 254, pp. 254-271.
- KANG, B.H. (1970), Effects of Back Pressure on the Consolidation Behavior of a Soft Clay, *Thesis No. 343* Asian Institute of Technology, Bangkok.
- LAMBE, T.W. (1951), *Soil Testing for Engineers*, Wiley, New York.
- LAMBE, T.W., and WHITMAN, R. V. (1969), *Soil Mechanics*, Wiley, New York.
- LEONARDS, G. A. and ALTSCHAEFFL, G. (1964), Compressibility of Clay *J. SMFD*, ASCE, v. 90, no. SM5, pp. 133-155.
- LEONARDS, G.A. and GIRAUT, P.A. (1961), A Study of the One Dimensional Consolidation Test, *Proc., 5th ICSMFE*, Paris, v. I, pp. 213-218.
- LEONARDS, G.A. and RAMIAH, B.K. (1959), Time Effects in the Consolidation of Clay, *ASTM*, S.T.P., no. 254, pp. 116-130.
- LOME, J., ZACCHE, P.F. and FELDMAN, H.S. (1964), Consolidation Testing with Back Pressure, *J. SMFD*, ASCE, v. 90, no. SM5, pp. 69-86.
- MUKTABHANT, C., TEERAWONG, P. and TENGAMNUAY, V. (1967), Engineering Properties of Bangkok Subsoil, *Proc., 1st Southeast Asian Conf. on Soil Engineering*, Bangkok, pp. 1-7.
- NORTHEY, R.D. (1956). Rapid Consolidation Tests for Routine Investigations. *Proc. 2nd Australian-New Zealand Conf. on SMFE*. Sydney, pp. 20-26.
- SCHMERTMANN, J.M. (1955), The Undisturbed Consolidation Behavior of Clay, *Trans., ASCE*, v. 120, pp. 1201-1233.
- TYLOR, D.W. (1942), Research on Consolidation of Clays, *Massachusetts Institute of Technology, Publication No. 82*.
- TEVES, A.S. and MOH, Z.C. (1968), Compressibility of Soft and Medium Bangkok Clays, *Research Report No. 4*. Asian Institute of Technology, Bangkok.
- WAHLS, H.E. (1962), Analysis of Primary and Secondary Consolidation, *J. SMFD*, ASCE, v. 88, no. SM6, pp. 207-231.



회원들의 소양강 견학 기념촬영